

## 论著·临床研究

## 血清 miR-210 和 miR-375 在非小细胞肺癌患者中的表达变化情况\*

肖 洒<sup>1</sup>,蔡 宙<sup>2</sup>,钟欣超<sup>3</sup>,李玉婵<sup>4</sup>,吴科峰<sup>1</sup>,孙 杰<sup>2</sup>,李文德<sup>5</sup>,黄 韬<sup>5</sup>,邓少嫦<sup>5△</sup>

(1. 广东医科大学广东天然药物研究与开发重点实验室,广东湛江 524023;2. 广东医科大学附属医院呼吸内科,广东湛江 524023;3. 广州市外显子生物技术有限公司,广东广州 510663;4. 广东省第二人民医院肿瘤二科,广东广州 510663;5. 广东省实验动物监测所/广东省实验动物重点实验室,广东广州 510663)

**摘要:**目的 探讨血清 miR-210 和 miR-375 在非小细胞肺癌(NSCLC)患者中的表达变化情况。方法 以 25 例 NSCLC 患者(NSCLC 组)和 14 例健康志愿者(对照组)为研究对象,随机抽取 6 例 NSCLC 组和 6 例对照组的血液标本组成筛选实验,应用实时荧光定量 PCR(RT-qPCR)检测 9 种 miRNA(miR-182、miR-126、miR-31、miR-21、miR-221、miR-200b、miR-183、miR-210、miR-375)的表达水平,筛选出表达异常的 miRNA 为目标 miRNA 后,继续检测其在剩余标本中的表达水平,并采用受试者工作特征曲线(ROC 曲线)评价其诊断效能。**结果** 筛选实验发现,miR-210 和 miR-375 在 NSCLC 组血清中的相对表达均升高,差异有统计学意义( $P < 0.05$ ),其他 7 种 miRNA 表达量趋势与已报道文献不符,选择 miR-210 和 miR-375 继续验证剩余标本,发现 NSCLC 患者中的肺腺癌组 miR-210 相对表达量较对照组升高,差异有统计学意义( $P < 0.05$ ),肺鳞癌组与对照组比较,差异无统计学意义( $P > 0.05$ );miR-375 在肺鳞癌和肺腺癌组中的相对表达量与对照组比较,差异均无统计学意义( $P > 0.05$ )。根据血清 miR-210 表达水平绘制 ROC 曲线,曲线下面积为 0.7375(95% CI: 0.4983~0.9767,  $P = 0.0914$ ),诊断准确性中等。**结论** miR-210 在肺腺癌组高表达,可能成为诊断肺腺癌的新型肿瘤标志物;miR-375 在辅助诊断肺癌的价值仍待进一步探讨。

**关键词:**非小细胞肺癌; 血清; 微小 RNA; 诊断价值**DOI:**10.3969/j.issn.1673-4130.2019.02.008      **中图法分类号:**R734.2**文章编号:**1673-4130(2019)02-0156-06**文献标识码:**A

## Expression levels of serum miR-210 and miR-375 in patients with non-small cell lung cancer\*

XIAO Sa<sup>1</sup>, CAI Zhou<sup>2</sup>, ZHONG Xinchao<sup>3</sup>, LI Yuchan<sup>4</sup>, WU Kefeng<sup>1</sup>,  
SUN Jie<sup>2</sup>, LI Wende<sup>5</sup>, HUANG Ren<sup>5</sup>, DENG Shaochang<sup>5△</sup>

(1. Guangdong Key Laboratory for Research and Development of Natural Drugs, Guangdong Medical University, Zhanjiang, Guangdong 524023, China; 2. Department of Respiratory Medicine, Affiliated Hospital of Guangdong Medical University, Zhanjiang, Guangdong 524023, China; 3. Guangzhou Exon Biological Technology Co., Ltd, Guangzhou, Guangdong 510663, China; 4. Department of Tumor, Guangdong Second Provincial General Hospital, Guangzhou, Guangdong 510663, China; 5. Guangdong Laboratory Animals Monitoring Institute/Guangdong Provincial Key Laboratory of Laboratory Animals, Guangzhou, Guangdong 510663, China)

**Abstract: Objective** To investigate the expression levels of serum miR-210 and miR-375 in patients with non-small cell lung cancer (NSCLC). **Methods** A total of 25 NSCLC patients (NSCLC group) and 14 healthy volunteers (control group) were enrolled in this study. The relative expression levels of 9 miRNAs (miR-182, miR-126, miR-31, miR-21, miR-221, miR-200b, miR-183, miR-210 and miR-375) in 6 NSCLC patients and 6 healthy volunteers were measured by RT-qPCR. The dysregulated miRNAs will be selected as candidate miRNAs. The diagnostic value were evaluated by ROC curve. **Results** Compared with control group, 2 (miR-210 and miR-375) out of 9 miRNAs were up-regulated in NSCLC group, and the differences were statistically significant( $P < 0.05$ ), while the other 7 miRNAs were not consistent with the reported literatures. Therefore, miR-210 and miR-375 were selected as candidate miRNAs. We found that the relative expression level of miR-

\* 基金项目:国家自然科学基金资助项目(31772549);广东省省级科技计划项目(2016A040403064、2017A070702001、2017B030314171、2018B030317001)。

作者简介:肖洒,女,在读硕士研究生,主要从事药理学研究。 △ 通信作者,E-mail: 350885398@qq.com。

本文引用格式:肖洒,蔡宙,钟欣超,等. 血清 miR-210 和 miR-375 在非小细胞肺癌患者中的表达变化情况[J]. 国际检验医学杂志, 2019, 40(2):156-161.

210 in the lung adenocarcinoma group was significantly different from control group ( $P < 0.05$ ), while there was no significant difference between the squamous cell carcinoma group and the control group ( $P > 0.05$ ). There was no significantly statistical difference in the relative expression level of miR-375 between lung squamous cell carcinoma group, lung adenocarcinoma group and the control group ( $P > 0.05$ ). The AUC of serum miR-210 of lung adenocarcinoma group was 0.737 5 (95%CI: 0.498 3–0.976 7,  $P = 0.091$  4) with a medium diagnostic value. **Conclusion** MiR-210 is highly expressed in the serum of patients with lung adenocarcinoma, suggesting that miR-210 may be a novel tumor marker for the diagnosis of lung adenocarcinoma. The value of miR-375 in the diagnosis of lung cancer still needs to be further explored.

**Key words:** non-small cell lung cancer; serum; microRNA; diagnostic value

肺癌已成为全球肿瘤死亡的主要原因之一<sup>[1]</sup>。据中国癌症统计数据报告,截至 2015 年,中国共出现有 430 万癌症病例,且死亡病例数超过 281 万,其中,肺癌的死亡人数超过所有死亡人数的 21%<sup>[2]</sup>。非小细胞肺癌(NSCLC)约占肺癌总数的 85%,主要包括腺癌、鳞癌和大细胞未分化癌<sup>[3]</sup>。NSCLC 的癌细胞生长分裂较慢,且扩散转移也比较晚,大部分肺癌患者确诊时已为中晚期。因此,寻找有效的早期诊断标志物是降低肺癌患者死亡率的关键<sup>[4-5]</sup>。

微小 RNA(miRNA)是真核生物中一类长度约为 22 nt 的非编码小分子单链 RNA。研究表明,miRNA 通过与靶 mRNA 3' 非编码区(3'UTR)完全或不完全结合,抑制其靶 mRNA 翻译或直接诱导其降解,在转录或转录后水平发挥调控作用<sup>[6-7]</sup>。大量研究表明,miRNA 参与机体多种生理和病理过程<sup>[8-10]</sup>,且可通过调控其靶基因参与信号通路调控,并参与肺癌的发生、侵袭、转移等过程<sup>[11-13]</sup>。

miRNA 广泛存在于各种体液中,血清就是其中之一。MOTAWI 等<sup>[14]</sup>报道,循环 miRNA 在多种肿瘤发生、发展和预后判断中起重要调节作用,可成为早期诊断标志物。但是,循环 miRNA 在肺癌发生、侵袭、转移等过程中的作用还有待于深入研究。朱利群等<sup>[15]</sup>报道,NSCLC 患者血清 miRNA-200b 表达水平显著上升,有可能成为新型的肺癌标志物,作为无创早期诊断 NSCLC 的指标之一。SUN 等<sup>[16]</sup>通过对 60 例 NSCLC 患者和 30 例健康人的血清 miRNA 发现,miR-210 表达升高可作为 NSCLC 诊断依据,且通过 36 例接受过 3 次左右铂类化疗的 NSCLC 晚期患者的疗效发现,稳定疾病进展组比局部缓解组患者血清 miR-210 表达更高,提示 miR-210 可在肺癌治疗中起到治疗反馈作用。HALVORSEN 等<sup>[17]</sup>通过联合 6 个外周血 miRNA (miR-429、miR-205、miR-200b、miR-203、miR-125b 和 miR-34b) 可区分早期 NSCLC 患者、慢性阻塞性肺疾病患者和健康体检者,且它们诊断 NSCLC 患者的曲线下面积(AUC)为 0.89。因此多个 miRNA 联合检测有助于提高肺癌的灵敏度和早期诊断率。本研究选取 9 个已经报道过在肺癌患者血清中差异表达的 miRNA (miR-182、miR-126、miR-31、miR-21、miR-221、miR-200b、miR-183、miR-

210、miR-375),作为研究目标,通过初筛和进一步确认发现,miR-210 在肺腺癌中显著上调,可作为肺腺癌早期诊断的生物标志物。

## 1 资料与方法

**1.1 一般资料** 选择广东医科大学附属医院和广东省第二人民医院呼吸内科 2016 年 3—12 月确诊的 NSCLC 患者 25 例(NSCLC 组),其中男 14 例,女 11 例;年龄 39~83 岁,平均 66.0 岁;肺腺癌 13 例(肺腺癌组),鳞癌 12 例(肺鳞癌组);临床分期:Ⅰ、Ⅱ 期 3 例,Ⅲ、Ⅳ 期 22 例。纳入标准:(1)NSCLC 均经病理学确诊,符合美国胸科医生学会(ACCP)肺癌诊治标准<sup>[18]</sup>;(2)按美国联合癌症分类委员会(AJCC)和国际癌症研究协会(IASLC)2009 年制定的 TNM 分期标准(第 7 版)进行分期<sup>[19]</sup>;(3)具备完整的临床诊断、治疗资料;(4)获得标本前患者未经过放疗、化疗等治疗;(5)吸烟者定义为吸烟总数超过 100 支。以上患者均按照世界卫生组织(WHO)肺癌分类标准进行诊断。另选择健康志愿者 14 例作为对照组,其中男 10 例,女 4 例;年龄 17~71 岁,平均 53.5 岁;无高血压、高血脂、糖尿病等基础性疾病。所有标本采集均获得患者及主管医生同意,且所有参与者均签订知情同意书。

**1.2 仪器与试剂** Applied Biosystems 7500 荧光定量 PCR 仪购自 ABI 公司;Trizol 试剂购自 Life Technology 公司;RTase M-MLV(RNase H-) 试剂购自 TAKARA 公司;荧光定量 PCR 试剂盒购自 Vazyme 公司;引物设计与合成由上海生工生物工程股份有限公司完成。

## 1.3 方法

**1.3.1 标本处理** 空腹抽取 1~3 mL 外周静脉血置于乙二胺四乙酸(EDTA)抗凝管中,在室温条件下,4 000 r/min 离心 5 min,取最上层 0.2~0.5 mL 血清至无菌冻存管。

**1.3.2 血清总 RNA 提取** 采用 Trizol 法提取血清总 RNA。使用超微量紫外分光光度计测定 RNA 的  $A_{260}/A_{280}$  及 RNA 浓度。RNA 的  $A_{260}/A_{280}$  在 1.8~2.1 时,判断其纯度合格。

**1.3.3 miRNA 逆转录** miRNA 逆转录参照 RTase M-MLV(RNase H-) 试剂说明书进行。反应体系:

RNA 1.0 μg, Olig(dT)18 0.5 μL, 随机引物 0.5 μL 加入 RNase free ddH<sub>2</sub>O 至 12 μL, 70 °C 10 min 后迅速冷却 1 min; 然后加入 10 mmol/L dNTP Mixture 0.5 μL, RNase inhibitor (40 U/μL) 0.25 μL, 5× M-MLV buffer 4.0 μL, RTase M-MLV(RNase H-) 0.5 μL, 加入 RNase free ddH<sub>2</sub>O 至 20 μL, 混匀后 42 °C 恒温

60 min, 72 °C 灭活 15 min, 最后—20 °C 保存备用。

**1.3.4 实时荧光定量 PCR( RT-qPCR ) 反应体系**(20 μL): cDNA 2 μL, 正、反向引物各 0.5 μL, AceQ<sup>TM</sup> qPCR SYBR<sup>®</sup> Green Master Mix 10 μL, ddH<sub>2</sub>O 7 μL。循环参数: 95 °C 1 min; 95 °C 10 s, 59 °C 20 s, 共 40 个循环。引物序列见表 1。

表 1 引物序列

| miRNA    |       | 序列(5'→3')   |
|----------|-------|---|
| U6(内参)   | 上游引物  | CATCCGATAA AATTGGAACGA                              |
|          | 下游引物  | TTTGTGCGTGTCACTCCTTGCG                              |
| miR-126  | 逆转录引物 | GTCGTATCCAGTCAGGGTCCGAGGTATTCGCACGGATACGACCCGATTA   |
|          | 上游引物  | ATGGTTCGTGGGTCGTACCGTGAGTAAT                        |
| miR-221  | 逆转录引物 | GTCGTATCCAGTCAGGGTCCGAGGTATTCGCACGGATACGACAAACCCA   |
|          | 上游引物  | ATGGTTCGTGGGAGCTACATTGTCTGCT                        |
| miR-375  | 逆转录引物 | GTCGTATCCAGTCAGGGTCCGAGGTATTCGCACGGATACGACTCACGCGA  |
|          | 上游引物  | ATGGTTCGTGGGTTTGTTCGTCGGCTCG                        |
| miR-200b | 逆转录引物 | GTCGTATCCAGTCAGGGTCCGAGGTATTCGCACGGATACGACTCATCAT   |
|          | 上游引物  | ATGGTTCGTGGGTAATACTGCCCTGGTAAT                      |
| miR-210  | 逆转录引物 | GTCGTATCCAGTCAGGGTCCGAGGTATTCGCACGGATACGACAGTGTG    |
|          | 上游引物  | ATGGTTCGTGGGAGCCCTGCCACCGCA                         |
| miR-182  | 逆转录引物 | GTCGTATCCAGTCAGGGTCCGAGGTATTCGCACGGATACGACAGTGTGAGT |
|          | 上游引物  | ATGGTTCGTGGGTTTGGCAATGGTAGAAC                       |
| miR-31   | 逆转录引物 | GTCGTATCCAGTCAGGGTCCGAGGTATTCGCACGGATACGACAGTATGC   |
|          | 上游引物  | ATGGTTCGTGGGAGGCAAGATGCTGGCAT                       |
| miR-183  | 逆转录引物 | GTCGTATCCAGTCAGGGTCCGAGGTATTCGCACGGATACGACAGTGAAT   |
|          | 上游引物  | ATGGTTCGTGGGTATGGCACTGGTAGAAT                       |
| miR-21   | 逆转录引物 | CTCAACTGGTGTGAGTCGGCAATTCAAGTTGAGTCAACATCA          |
|          | 上游引物  | ACACTCCAGCTGGTAGCTTATCAGACTGAT                      |
| 通用引物     |       | GTGCAGGGTCCGAGGT                                    |

**1.4 统计学处理** 使用 Viia7<sup>TM</sup> System 软件进行溶解曲线分析。采用 Applied Biosystems Viia7<sup>TM</sup> Real-Time PCR System 检测各个基因的 Ct 值, 所有反应均设 3 个复孔。ΔΔCt=(Ct<sub>基因</sub>-Ct<sub>U6</sub>)<sub>目标</sub>-(Ct<sub>基因</sub>-Ct<sub>U6</sub>)<sub>对照</sub>, 利用 2<sup>-ΔΔCt</sup> 计算各个基因相对表达量; 采用 GraphPad Prism 5.0 软件进行数据统计分析, 实验数据均以  $\bar{x} \pm s$  表示, 两组 miRNA 表达差异比较采用 t 检验,  $P < 0.05$  为差异有统计学意义。采用受试者工作特征曲线(ROC 曲线)分析 miRNA 的诊断价值。

## 2 结 果

**2.1 血清中与肺癌相关的 miRNA** 通过 PubMed、万方和知网等文献搜索引擎, 共发现 9 个在肺癌患者血清中差异表达的 miRNA, 将这 9 个 miRNA 作为研究目标, 探讨其对肺癌的临床诊断价值。见表 2。

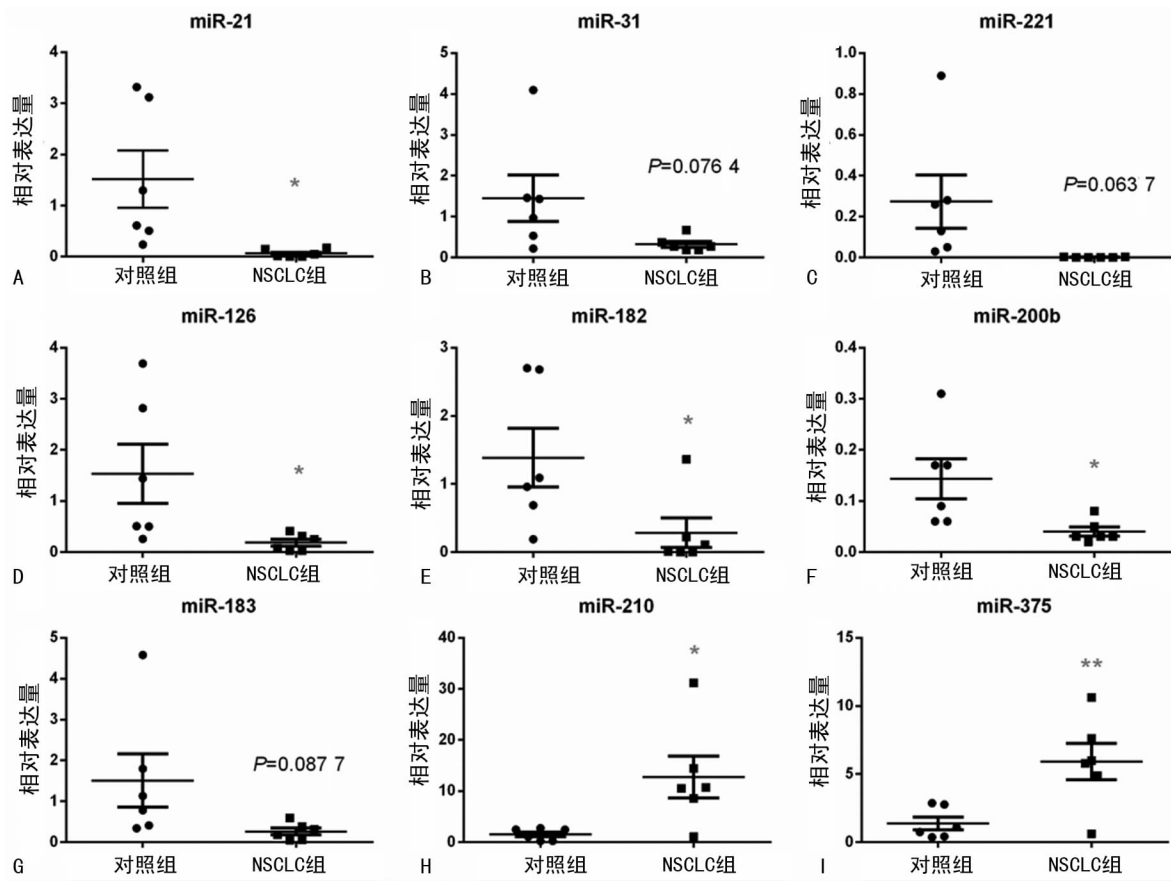
**2.2 血清中总 RNA 分析** 采用 Trizol 法提取血清

中总 RNA, 其  $A_{260}/A_{280}$  值均在合格范围内, RNA 质量浓度符合 RT-qPCR 的要求, 见表 3。

表 2 血清中与肺癌相关的 miRNA

| 血清 miRNA | 表达变化 | 意义                         | 参考文献     |
|----------|------|----------------------------|----------|
| miR-182  | ↑    | 肺原位癌总生存率降低                 | [20]     |
| miR-126  | ↓    | 肺腺癌患者检测                    | [21]     |
| miR-31   | ↑    | NSCLC 检测                   | [22]     |
| miR-21   | ↑    | NSCLC 诊断                   | [23]     |
| miR-375  | ↑    | 肺腺癌早期诊断                    | [24]     |
| miR-221  | ↑    | SCLC 的肿瘤分期、对化疗的敏感性和生存期相关诊断 | [25]     |
| miR-210  | ↑    | NSCLC 诊断依据; 较短的无进展生存期(PFS) | [20]     |
| miR-200b | ↑    | 肺腺癌早期诊断                    | [26]     |
| miR-183  | ↑    | 肺原位癌总生存率低                  | [20, 27] |

注:SCLC 为小细胞肺癌; ↓ 表示 miRNA 表达下调; ↑ 表示 miRNA 表达上调



注: A~I 分别为 miR-21、miR-31、miR-221、miR-126、miR-182、miR-200b、miR-183、miR-210、miR-375 在血清中的相对表达情况

图 1 各 miRNA 在 NSCLC 组和对照组血清中的相对表达水平

表 3 血清中总 RNA 分析

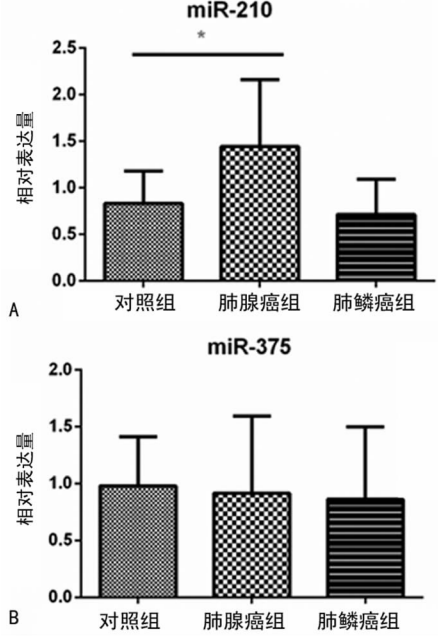
| 样本编号 | $A_{260}/A_{280}$ | 质量浓度(ng/ $\mu$ L) | 体积( $\mu$ L) | 质量(ng)  |
|------|-------------------|-------------------|--------------|---------|
| N1   | 1.78              | 112.57            | 40           | 4 502.8 |
| N2   | 1.86              | 105.33            | 40           | 4 213.2 |
| N3   | 1.92              | 132.11            | 40           | 5 284.4 |
| N4   | 1.79              | 123.65            | 40           | 4 946.0 |
| N5   | 1.81              | 110.45            | 40           | 4 418.0 |
| N6   | 1.87              | 107.56            | 40           | 4 302.4 |
| Ca1  | 1.85              | 106.3             | 40           | 4 252.0 |
| Ca2  | 1.76              | 105.49            | 40           | 4 219.6 |
| Ca3  | 1.93              | 119.89            | 40           | 4 795.6 |

注: N1~N6 为健康人血清标本; Ca1~Ca3 为肺癌患者血清标本

**2.3** miRNA PCR 引物特异性验证 9 种 miRNA 及内参 U6 在内共 10 种基因均成功扩增出产物,且溶解曲线均为单峰,提示产物具有良好的特异性,引物设计成功。

**2.4 筛选实验结果** 血清 miR-210 和 miR-375 在 NSCLC 组相对表达量较对照组显著升高,差异有统计学意义( $P < 0.05$ ),与文献报道一致;而其余 7 种血清 miRNA(miR-182、miR-126、miR-31、miR-21、miR-221、miR-200b、miR-183)相对表达量在 NSCLC 组与对照组的差异与文献报道不符,见图 1。故选择

miR-210 和 miR-375 进行进一步研究。



注: A 为各组 miR-210 在血清中的相对表达水平,B 为各组 miR-375 在血清中的相对表达水平

图 2 miR-210 和 miR-375 分别在各组血清中的相对表达水平

**2.5 各组血清 miR-210 和 miR-375 的表达情况及其对于 NSCLC 的诊断价值** 检测 19 例 NSCLC 组患

者(10例肺鳞癌和9例肺腺癌)与8例对照组血清中2种目标miRNA(miR-210和miR-375)相对表达情况,见图2。NSCLC组患者中,肺腺癌组血清中miR-210的表达明显高于对照组,差异有统计学意义( $P<0.05$ );肺鳞癌组患者血清miR-210较对照组有减少趋势,但差异无统计学意义( $P>0.05$ );miR-375在肺鳞癌组和肺腺癌组患者血清中表达无差异,其原因需要进一步探究。采用ROC曲线评价miR-210在肺腺癌诊断效能,其AUC为0.7375(95%CI:0.4983~0.9767, $P=0.0914$ ),见图3。

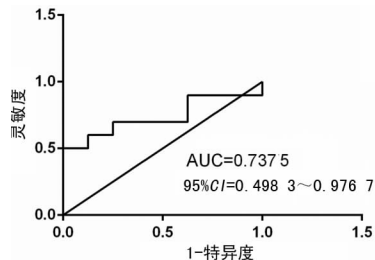


图3 miR-210对肺腺癌诊断的ROC曲线分析

### 3 讨 论

由于肺癌存在高转移、高复发和对化疗不敏感等特点,导致多数患者诊断时已属于晚期并有转移,错过了最佳手术时机,已成为严重危害人类健康的疾病<sup>[28-29]</sup>。近年来,虽然肺癌诊断治疗技术不断提高,但是仍缺乏对肺癌早期诊断、治疗、评估、预后判断有效的生物学标志<sup>[30]</sup>。因此,寻找新的、高灵敏度的肺癌早期诊断指标具有重要临床意义。

有研究表明,人体体液如血浆或血清中的循环miRNA可稳定存在,获得含有循环血miRNA的临床标本是简单非侵入的过程,且可通过实时定量PCR检测其表达水平<sup>[27]</sup>;检测到的血清或血浆循环miRNAs的表达谱中有许多种miRNA,可排除只检测一种指标而判定为假阳性的干扰,从而提高肺癌诊断的特异度、灵敏度和可信度。因此,循环血miRNA可成为有临床价值的生物标志物。

本研究在目标miRNA的筛选过程中发现,7种与肺癌相关的miRNA表达水平与文献报道结果不一致<sup>[31-32]</sup>,分析可能存在以下2种可能:(1)筛选实验的样本数较少,不能完全反映出这7种miRNA在总体中的真实表达水平;(2)血清中miRNA来源复杂,miRNA组织特异性较差,且可能由其他组织释放入血清导致这7种miRNA在血清中的真实表达情况被掩盖了。

本研究结果显示,血清miR-210的表达水平在肺腺癌患者中显著上调,与对照组比较差异有统计学意义( $P<0.05$ )。然而,血清miR-210在肺鳞癌患者和对照组中表达差异无统计学意义( $P>0.05$ ),具体原因还需进一步研究。与对照组相比,血清miR-375在肺腺癌和肺鳞癌中的表达差异无统计学意义( $P>0.05$ )。本研究引入ROC曲线评价miR-210对肺腺

癌患者的诊断效果,结果显示,其AUC为0.7375(95%CI:0.4983~0.9767),说明其对肺腺癌的诊断具有中等效果。因此可推断,血清miR-210有可能作为肺腺癌早期诊断的一个较好的辅助诊断指标。

本研究也存在一些缺陷,比如标本量小,未进行进一步的分子机制研究等,实验结果可能具有一定局限性,但是该研究丰富了血清miR-210用于肺腺癌患者诊断、治疗和预后的认知。血清miR-210检测用肺腺癌患者诊断需要扩大样本量,再进行深入探讨,以期对肺腺癌的诊断、监测及治疗发挥积极作用。

### 4 结 论

miR-210在肺腺癌患者中呈高表达,可成为诊断肺腺癌的新型肿瘤标志物。对于如何探索检测miR-210更精确的方法,做好质量控制,以及将血清miR-210运用于临床肺腺癌的早期诊断,使其具有更高的准确性等方面需要进行更深入的研究。

### 参 考 文 献

- [1] PRABHAKAR B, SHENDE P, AUGUSTINE S. Current trends and emerging diagnostic techniques for lung cancer [J]. Biomed Pharmacother, 2018, 106: 1586-1599.
- [2] CHEN W Q, ZHENG R S, BAADE P D, et al. Cancer statistics in China, 2015[J]. CA Cancer J Clin, 2016, 66(2): 115-132.
- [3] OSMANI L, ASKIN F, GABRIELSON E, et al. Current WHO guidelines and the critical role of immunohistochemical markers in the subclassification of non-small cell lung carcinoma (NSCLC): moving from targeted therapy to immunotherapy[J]. Semin Cancer Biol, 2018, 52(Pt 1): 103-109.
- [4] MACDONALD I K, PARSY-KOWALSKA C B, CHAPMAN C J. Autoantibodies: opportunities for early cancer detection[J]. Trends Cancer, 2017, 3(3): 198-213.
- [5] SIEGEL R L, MILLER K D, JEMAL A. Cancer statistics, 2017[J]. CA Cancer J Clin, 2017, 67(1): 7-30.
- [6] KUANG X Y, WEI C M, ZHANG T, et al. miR-378 inhibits cell growth and enhances apoptosis in human myelodysplastic syndromes[J]. Int J Oncol, 2016, 49(5): 1921-1930.
- [7] LENG Q X, WANG Y, JIANG F. A direct plasma miRNA assay for early detection and histological classification of lung cancer[J]. Transl Oncol, 2018, 11(4): 883-889.
- [8] LI W D, LIU Y J, YANG W N, et al. MicroRNA-378 enhances radiation response in ectopic and orthotopic implantation models of glioblastoma[J]. J Neurooncol, 2018, 136(1): 63-71.
- [9] SHISHODIA G, VERMA G, DAS B C, et al. miRNA as viral transcription tuners in HPV-mediated cervical carcinogenesis[J]. Front Biosci (Schol Ed), 2018, 10(1): 21-47.
- [10] LI J H, SUN S S, FU C J, et al. Diagnostic and prognostic value of microRNA-628 for cancers[J]. J Cancer, 2018, 9(9): 1623-1634.

- [11] HO C S, NOOR S M, NAGOOR N H. MiR-378 and MiR-1827 regulate tumor invasion, migration and angiogenesis in human lung adenocarcinoma by targeting RBX1 and CRKL, respectively[J]. *J Cancer*, 2018, 9(2): 331-345.
- [12] WU Y, ZHANG J, HONG Y, et al. Effects of kanglaite injection on serum miRNA-21 in patients with advanced lung cancer[J]. *Med Sci Monit*, 2018, 24: 2901-2906.
- [13] XU J, XIAO X, YANG D. In vitro methods for analyzing miRNA roles in cancer cell proliferation, invasion, and metastasis[J]. *Methods Mol Biol*, 2018, 1733: 159-171.
- [14] MOTAWI T K, RIZK S M, IBRAHIM T M, et al. Circulating microRNAs, miR-92a, miR-100 and miR-143, as non-invasive biomarkers for bladder cancer diagnosis[J]. *Cell Biochem Funct*, 2016, 34(3): 142-148.
- [15] 朱利群, 王纯, 陈菊香. 血清 miRNA-200b 在非小细胞肺癌中的表达及其临床意义[J]. 实用癌症杂志, 2017, 32(7): 1059-1061.
- [16] SUN Y L, HAWKINS P G, BI N, et al. Serum microRNA signature predicts response to high-dose radiation therapy in locally advanced non-small cell lung cancer[J]. *Int J Radiat Oncol Biol Phys*, 2018, 100(1): 107-114.
- [17] HALVORSEN A R, BJAANAES M, LEBLANC M, et al. A unique set of 6 circulating microRNAs for early detection of non-small cell lung cancer[J]. *Oncotarget*, 2016, 7(24): 37250-37259.
- [18] CASTILLO-LARA R A, SORIA-RUIZ M, MARTINEZ-CARRERA O. American college of chest physicians/society of critical care medicine consensus conference: definitions for sepsis and organ failure and guidelines for the use of innovative therapies in sepsis[J]. *Crit Care Med*, 1992, 20(6): 864-874.
- [19] DETTERBECK F C, BOFFA D J, TANQUE L T. The new lung cancer staging system[J]. *Chest*, 2009, 136(1): 260-271.
- [20] ZHU W, ZHOU K, ZHA Y, et al. Diagnostic value of serum miR-182, miR-183, miR-210, and miR-126 levels in patients with early-stage non-small cell lung cancer[J]. *PLoS One*, 2016, 11(4): e0153046.
- [21] GRIMOLIZZI F, MONACO F, LEONI F, et al. Exosomal miR-126 as a circulating biomarker in non-small-cell lung cancer regulating cancer progression[J]. *Sci Rep*, 2017, 7(1): 15277.
- [22] MATHE Y G, FOGEL P, MARTIN L S, et al. 60P circulating miR-31 as a predictive marker of EGFR TKI treatment efficacy in squamous cell lung cancer(SCC): a sub-analysis of the LUX-Lung 8 trial[J]. *J Thorac Oncol*, 2018, 13(4): 31-32.
- [23] YANG Y, CHEN K, ZHOU Y, et al. Application of serum microRNA-9-5p, 21-5p, and 223-3p combined with tumor markers in the diagnosis of non-small-cell lung cancer in Yunnan in southwestern China[J]. *Onco Targets Ther*, 2018, 11: 587-597.
- [24] ARAB A, KARIMIPOOR M, IRANI S, et al. Potential circulating miRNA signature for early detection of NSCLC[J]. *Cancer Genet*, 2017(216/217): 150-158.
- [25] ZHOU X, WEN W, SHAN X, et al. A six-microRNA panel in plasma was identified as a potential biomarker for lung adenocarcinoma diagnosis[J]. *Oncotarget*, 2017, 8(4): 6513-6525.
- [26] HALVORSEN A R, BJAANAES M, LEBLANC M, et al. A unique set of 6 circulating microRNAs for early detection of non-small cell lung cancer[J]. *Oncotarget*, 2016, 7(24): 37250-37259.
- [27] ZAPOROZHCHENKO I A, MOROZKIN E S, SKVORT SOVA T E, et al. Plasma miR-19b and miR-183 as potential biomarkers of lung cancer[J]. *PLoS One*, 2016, 11(10): e0165261.
- [28] RAMALINGAM S S, YANG J C, LEE C K, et al. Osimertinib as first-line treatment of EGFR mutation-positive advanced non-small-cell lung cancer[J]. *J Clin Oncol*, 2018, 36(9): 841-849.
- [29] MASAOUTIS C, MIHAILIDOU C, TSOUROUFLIS G, et al. Exosomes in lung cancer diagnosis and treatment. From the translating research into future clinical practice[J]. *Biochimie*, 2018, 151: 27-36.
- [30] LUO H, GE H, CUI Y, et al. Systemic inflammation biomarkers predict survival in patients of early stage non-small cell lung cancer treated with stereotactic ablative radiotherapy: a single center experience[J]. *J Cancer*, 2018, 9(1): 182-188.
- [31] GARCÍA-GIMÉNEZ J L, RUBIO-BELMAR P A, PEIRÓ-CHOVA L, et al. Circulating miRNAs as diagnostic biomarkers for adolescent idiopathic scoliosis[J]. *Sci Rep*, 2018, 8(1): 2646.
- [32] LOPEZ-SANTILLAN M, LARRABEITI-ETXEARRIA A, ARZUAGA-MENDEZ J, et al. Circulating miRNAs as biomarkers in diffuse large B-cell lymphoma: a systematic review[J]. *Oncotarget*, 2018, 9(32): 22850-22861.

(收稿日期:2018-07-20 修回日期:2018-09-10)

(上接第 155 页)

- [13] 马延敏, 吴连方, 黄醒华, 等. 孕妇 B 族溶血性链球菌带菌与母婴预后的关系[J]. 中华妇产科杂志, 2000, 35(1): 31-34.
- [14] 何建维, 张燕, 陈敏, 等. 重庆地区不同育龄围产期女性 B 族溶血性链球菌的研究[J]. 国际检验医学杂志, 2016, 37(19): 2784-2786.

- [15] BARCAITE E, BARTUSEVICIUS A, TAMELIENE R, et al. Prevalence of maternal group B streptococcal colonisation in European countries[J]. *Acta Obstet Gynecol Scand*, 2008, 87(3): 260-271.

(收稿日期:2018-06-10 修回日期:2018-09-21)